



ISSN : 2312 – 4962

جامعة بنغازي
مجلة العلوم والدراسات الإنسانية - المرج
مجلة علمية الكترونية مكملة
رقم الإيداع بدار الكتب الوطنية 284 / 2014

إيجاد السماكة لمجموعة من الأفلام الرقيقة بطريقة تجريبية وطريقة رياضية

* د. غيث عبدالرحمن المعراتي، * أ. سلطانة صالح أبخارته

(أعضاء هيئة التدريس بقسم الفيزياء - كلية الآداب والعلوم المرج - جامعة بنغازي - ليبيا)

الملخص:

قمنا في هذا البحث بتحضير مجموعة من الأفلام الرقيقة بطريقة كيميائية بقانة المحلول الجيلاتيني (Gel - SOL) وإجراء دراسة لتحديد السماكة لكل من هذه الأفلام بطريقة تجريبية باستخدام نوعين من الأجهزة المصممة خصيصاً لقياس سماكة هذا النوع من الطبقات الرقيقة جداً مما تقامرة الاقتران المنشوري وهار إيلبسومتر، وبطريقه رياضيه تعتمد على كتلة الفلم المحضر وحجمه وبمقارنة القيم الوسطى للطريقتين وجدنا تقارب بالنتائج وهو ما يعزز صحة الطرق المتبعه لقياس السماكة.

الكلمات المفتاحية: فلم رقيق - السماكة - تقانة المحلول الجيلاتيني - اكسيد الزنك - اكسيد التنغستن - اكسيد الايريديوم - الايلبسومتر - الاقتران المنشوري.

ABSTRACT

In this work, thin films were prepared using the chemical method Sol-Gel technique. The thicknesses of the films were measured using two instruments designed specifically for these fine films, the thicknesses were then calculated using a formula, which involves mass and volume for each film. Comparisons between the mean values of the calculated and measured are found very close. This result supports the accuracy of the methods used in the measurement of thin film thicknesses.

Key words: Thin film – thicknesses- chemical method Sol-Gel technique-ZnO-WO₃-Ir₂O₃ Ellipsometer- Technology Pairing Prismativ.



ISSN : 2312 – 4962

جامعة بنغازي
مجلة العلوم والدراسات الإنسانية – المرج
مجلة علمية الكترونية محكمة
رقم الإيداع بدار الكتب الوطنية 284 / 2014

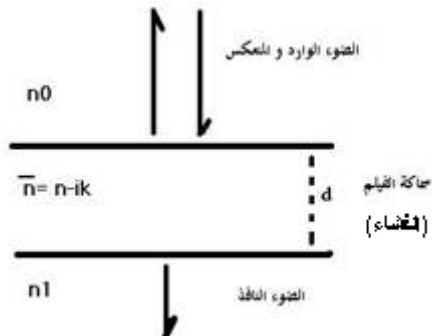
1- مقدمة [9] [1]: (Introduction)

تنوع تطبيقات الأفلام الرقيقة، فهناك الكثير من التطبيقات الصناعية المختلفة لهذه الأفلام حيث تدخل في تركيب الأجهزة الإلكترونية من مقاومات ومكثفات وترنزستورات ومن تطبيقات الأفلام الرقيقة المهمة والشائعة هي صناعة الخلايا الشمسية وذلك لرخص كلفة الطاقة التي تنتجهما بالمقارنة مع مصادر الطاقة الأخرى. وفي الحقيقة كل التقنيات التي ننعم باستخدامها من اجهزة الكترونية دقيقة وذكية هي في الأساس نتيجة للتقدم في مجال صناعة الأفلام الرقيقة.

كما تتنوع ايضاً بنيتها وتركيبها، ولسمكة الفلم تأثير كبير على خصائصه، فمثلاً نفاذية الفلم تقل بزيادة سمه ويرجع السبب الى أن السمك الكبير يؤدي الى حصول ظاهرة الامتصاص البصري. فنجد الحاجة في بعض التطبيقات لاستخدام أفلام مانعة للانعكاس من أجل تقليل الانعكاسية السطحية فقط أو تتعذر تقليل الانعكاسية إلى الحاجة لزيادة ملحوظة في النفاذية الضوئية أيضاً.

ويمكننا القول إن الأفلام الرقيقة تتنوع من الأفلام أحادية الطبقة تتعدم بها الانعكاسية الافتراضية عند طول الموجة الذي ضبطت لأجله، إلى أفلام مركبة مكونة من عدة طبقات (حيث يحكم عدد الطبقات الحاجة التي تلبية هذه الأفلام) تتعدم بها الانعكاسية الافتراضية على مجال واسع من الطيف

يعطينا طيف النفوذية الضوئية (T) للفلم الرقيق متوازي الوجهين المرسّب على ركيزة زجاجية معلومات تقييد في تقدير الأجزاء الحقيقة والتخيالية لمعامل الانكسار، إضافة إلى سماكة الفلم (d). ففترض أن المجموعة المدروسة المكونة من الركيزة والfilm الرقيق النفوذ المرسّب أحادي الطبقة متوازي الوجهين والمحاط بوسطين نفوذين (عديمي الامتصاص) كما يظهر في الشكل (1) هما (الهواء، زجاج) معاملات انكسارهما (n_0, n_1) على التوالي.



الشكل (1) انعكاسية ونفوذية الفلم الرقيق أحادي الطبقة محاط بوسطين نفوذين (هواء، زجاج) قرينة انكسارهما (n_0, n_1) على التوالي.

تعطي النفوذية الضوئية للأفلام الرقيقة ضعيفة الامتصاص رياضياً بالمعادلة العامة التالية: [2] [3] [4]



ISSN : 2312 – 4962

جامعة بنغازى
مجلة العلوم والدراسات الإنسانية - المرج
مجلة علمية كترونية مكملة
رقم الإيداع بدار الكتب الوطنية 284 / 2014

$$T = \frac{16n_0 n_1 n^2 C}{C_1^2 + C_2^2 C^2 + 2C_1 C_2 C \left[\cos\left(\frac{4\pi n d}{\lambda}\right) \right]} \quad (1)$$

حيث:

$$C = e^{-\frac{4\pi k d}{\lambda}} = e^{-\alpha d} \quad (2)$$

$$C_1 = [(n+n_0) \times (n_1+n)]$$

$$C_2 = [(n-n_0) \times (n_1-n)]$$

C, C₁, C₂ : مقادير ثابتة. **a**: معامل امتصاص الفلم الرقيق و أبعاده مقلوب المسافة
d : سماكة الغشاء الرقيق و أبعادها وحدة المسافة المستخدمة
و تكون قيمة النفوذية العظمى والصغرى وفق العلاقة (3):

$$T_{\max} = \frac{16n_0 n_1 n^2}{(C_1 + C_2 C)^2} \quad (3)$$

$$T_{\min} = \frac{16n_0 n_1 n^2}{(C_1 - C_2 C)^2} \quad (4)$$

يمكن حساب سماكة الغشاء أو الطبقة المسربة على الركيزة اعتمادا على قيمتين متتاليتين أو غير متتاليتين لامتصاص الأعظمى أو الأصغرى وفق العلاقة التالية [8]:

$$d = \frac{M \lambda_1 \lambda_2}{2[n(\lambda_1) \lambda_2 - n(\lambda_2) \lambda_1]} \quad (5)$$

حيث: (M) عدد الاهتزازات بين قيمتين لامتصاص عظميين أو صغيرين
() و تكون $M = 1$ لأجل قمتين متتاليتين)

$n(\lambda_1)$ معامل الانكسار عند طول الموجة λ_1

$n(\lambda_2)$ معامل الانكسار عند طول الموجة λ_2

λ_2 : طول الموجة عند قيمة امتصاص العظمى الأولى والثانى على التوالى.

- الخطأ في حساب سماكة الفلم الرقيق:

يمكن التعبير عن الخطأ النسبي في حساب سماكة الفلم الرقيق بالعلاقة :

$$\frac{\Delta d}{d} = \Delta \lambda \frac{\lambda_1 + \lambda_2}{\lambda_1 \lambda_2} + \frac{\Delta n}{n} \left| \frac{\lambda_1 + \lambda_2}{\lambda_1 - \lambda_2} \right| \quad (6)$$



ISSN : 2312 – 4962

جامعة بنغازي
مجلة العلوم والدراسات الإنسانية – المراجعة
مجلة علمية كترونية محكمة
رقم الإيداع بدار الكتب الوطنية 284 / 2014

تعتمد المعالجة الرياضية عند دراسة فلم عازل رقيق محاط بوسطين نفودين (هواء – زجاج) على استخدام نظرية المصفوفات في تحديد المصفوفة المميزة للفلم المدروس، والتي تعطي العلاقة بين الحقل الكهربائي والمغناطيسي عند كل حد فاصل، وتتطلب شروط الحد الفاصل بأن تكون المركبات المماسية لكل من الحقول الكهربائية (E) والمغناطيسية (H) مستمرة عبر الحدود الفاصلة (ويعنى آخر: متساوية على كلا الجانبين لكل حد فاصل). ويمكن التعبير عن المصفوفة المميزة لكل طبقة M_x بالعلاقة التالية:

$$M_x = \begin{bmatrix} \cos \theta & (i \sin \theta) / n_x \\ i n_x \sin \theta & \cos \theta \end{bmatrix} \quad (7)$$

حيث:

$$\theta = \frac{2\pi \cdot n_x \cdot h_x}{\lambda} \quad (8)$$

h_x : سماكة الطبقة (x), n_x : معامل انكسار الطبقة (x), λ : طول الموجة و تعطى المصفوفة المميزة لفلم المدروس بالعلاقة التالية

$$M_{total} = M_1 \times M_2 \times \dots \times M_x \quad (9)$$

و تحسب قيمة الحقل الكهربائي (E_0) و المغناطيسي (H_0) المتص و المنعكس وفق العلاقة التالية:

$$\begin{bmatrix} E_0 \\ H_0 \end{bmatrix} = M_{total} \begin{bmatrix} 1 \\ n_s \end{bmatrix} \quad (10)$$

حيث n_s : معامل انكسار الركيزة (يساوي في حالة الزجاج 1.52) و تحسب الانعكاسية الكلية من العلاقة التالية:

$$R = \left(\frac{E_0 - (\frac{H_0}{n_0})}{E_0 + (\frac{H_0}{n_0})} \right)^2 \quad (11)$$

حيث n_0 : معامل انكسار الوسط (الهواء = 1) و تحسب النفوذية الكلية من العلاقة التالية :

$$T = \frac{4n_s}{n_0 \times \left(E_0 + \left(\frac{H_0}{n_0} \right) \right)^2} \quad (12)$$

و تحسب الامتصاصية الكلية للفلم المرسوب وفق العلاقة العامة

$$T + R + A = 1 \quad (13)$$



ISSN : 2312 – 4962

جامعة بنغازي
مجلة العلوم والدراسات الإنسانية – المرج
مجلة علمية الكترونية مكملة
رقم الإيداع بدار الكتب الوطنية 284 / 2014

وتحسب سماكة الفلم المتشكل **Meyerhofer**
 $d_{spinoff}$ بطريقة التغطية بالدوران رياضياً وفق علاقة

$$d_{spinoff} = \left[\frac{3\mu \cdot e}{2\rho_{A0} \cdot \omega^2} \right]^{1/3} \quad (14)$$

حيث (ρ_A) كثافة محلول (ρ_{A0}) الأصلية للمحل.

(e) ثابت معدل التبخر والذي يعتمد على كتلة الطور الغازي المتحولة فقط و يبدأ عند بداية مرحلة التبخر (ω) السرعة الزاوية (μ) معامل لزوجة محلول.

وقد افترض أن عملية إنجاز الفلم الرقيق تتم دون تبخر حتى ينخفض معدل سماكة الفلم إلى النسبة ($e\rho_A / \rho_{A0}$) وعند نهاية التبخر يعبر عن سماكة الفلم النهائية والزمن الكلي المتوقع تحقيقه لهذه السماكة بالعلاقة:

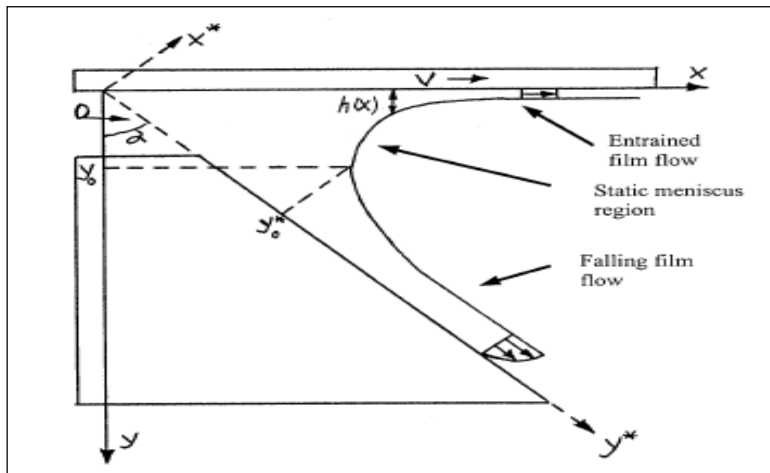
$$d_{final} = \left[1 - \frac{\rho_{A0}}{\rho_A} \right] \left[\frac{3\mu \cdot e}{2\rho_{A0} \cdot \omega^2} \right]^{1/3} \quad (15)$$

تقدم عملية التغطية بالتدفق (أو تدعى باللغطية بطريقة التدفق المقعر) نموذجاً جيداً للتطبيقات التي تتطلب طلياً من جانب واحد للركيزة، وبسبب قابلية تطبيقها في تغطية مناطق واسعة تستخدم بشكل واسع في صناعة الواح العرض المسطحة ويشكل التغير من تماس الفلم السائل مع الركيزة، هذه الطريقة مشابهة تماماً لطريقة الطلي بالغمس من حيث المبدأ لكنها تختلف بالكمية الصغيرة جداً من محاليل التغطية اللازمة لإجراء عملية التغطية.

تنتج سوائل التغطية بمعدل تدفق حجمي محدد في واحدة الطول (Q) من الشق وتنقسم عندها ما بين الغشاء الساقط والغشاء المحمول كما هو موضح في الشكل (2):
فمن أجل ركيزة تتحرك بسرعة (V) تعطى سماكة الفلم المحمول بالعلاقة:

$$d_\infty = \frac{1.3375(\mu \cdot V / \rho \cdot g)^{2/3} (\rho \cdot g / \sigma)^{1/6}}{[2(1 + \sin \alpha) - 1.1444 \cos^{4/3} \alpha (\rho \cdot g / \sigma)^{1/3} (3Q\mu / \rho \cdot g \cos \alpha)^{2/9}]^{1/2}} \quad (16)$$

حيث (d_∞) هي سماكة الفلم السائلة النهائية على الركيزة
(a): زاوية تدفق المحلول الساقط مع اعتباره بشكل عمودي.
(μ): معامل لزوجة محلول (ρ): كثافة محلول (σ): التوتر السطحي للمحلول.
(V): سرعة دوران الركيزة (Q): معدل التدفق الحجمي للمحلول من المطبق (g): تسارع الجاذبية الأرضية



الشكل (2) رسم تخطيطي للشكل الهندسي للتذبذب في عملية التغطية بالتدفق
 ويمكن أن ترتبط سماكة الفلم الجاف (d) بسماكة الفلم السائل من التوازن في الأجزاء الحجمية
 للجسم الصلب المتشكلة في محلول:

$$d\varepsilon_f = h_\infty \varepsilon_0 \quad (17)$$

(ε_0) : الكتلة الحجمية للمحلول الأساسي (ε_f) : مسامية الفلم النهائية

2- طريقة البحث وأهدافه:

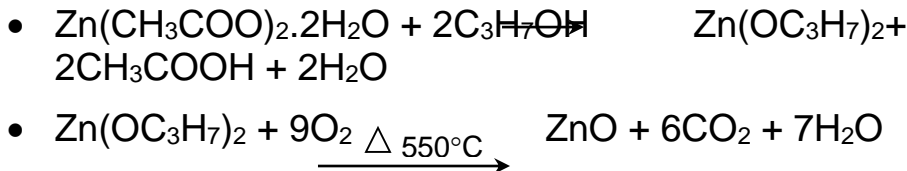
في هذا البحث أتبعدنا طريقة تكرار التجارب والقياسات والحسابات للحصول على أكثر النتائج دقة لسماكة الأفلام الواقعية وكان الهدف من البحث هو الحصول إلى أكثر النتائج تطابقاً تجريبياً ورياضياً.

3- القسم العملي ويتضمن عدة مراحل:

1- التحضير الكيميائي للأفلام المدروسة: [5][6][7]

1-1- تحضير أفلام أكسيد الزنك ZnO ب Technique of Sol-Gel

نقوم بحل (0.1 mol / 100 ml) خلات الزنك $Zn(CH_3COO)_2 \cdot 2H_2O$ في البروبانول ويحرك باستخدام محرك مغناطيسي لمدة خمسين دقيقة، حيث نحصل على محلول حليبي اللون، ثم تضاف ببطء مع التحريك المستمر مادة ثانوي ايتانول أمين **DEA** كمادة مثبتة حتى الحصول على محلول شفاف يترك بعدها محلول المحضر في جو المخبر لمدة 24 ساعة ثم نفلتر محلول لتجنب أي شوائب غير مرغوبة ليصبح بعدها جاهزاً للاستخدام في عملية التغطية ومن ثم نضع الشرائح الزجاجية في الفرن عند الدرجة $550^{\circ}C$ لمدة ساعة ثم تنتقل إلى مجفف درجة حرارته $150^{\circ}C$ لمدة ربع ساعة على الأقل، لتنقل بعدها الشرائح إلى جو المخبر لتتم عليها الدراسات اللاحقة ويكون التفاعل الحاصل على الشكل التالي:

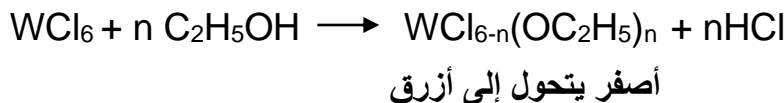


2-1-3- تحضير أفلام أكسيد الايريديوم بتقانة الـ-Gel :Sol

يؤخذ (0.01 mol /100 ml) من كلوريد الايريديوم IrCl_3 في الإيتانول والماء الثنائي التقطير بنسبة 1:3 ، ثم يحرك على محرك مغناطيسي لمدة خمس ساعات على الأقل حيث نحصل على محلول أخضر اللون، يترك في جو المخبر لمدة 24 ساعة ومن ثم يفلتر محلول ليصبح بعدها جاهزاً للاستخدام، وتنتم عملية التقطيعية، ثم توضع الشرائح المغطاة في الفرن وبدرجة حرارة (650 °C) لمدة ساعة ثم تنقل إلى مجفف درجة حرارته 150 °C لمدة ربع ساعة لتتم عليها دراسات اللاحقة.

3-1-3: تحضير أفلام أكسيد التنفستين بتقانة الـ-Gel

أخذنا (10) غرامات من كلوريد التنجستين (WCl_6) وأضفنا لها بشكل تدريجي وبحذر شديد تحت الساحة (60) مل من الإيتانول مع التحريك المستمر فلا حظنا أن المحلول بدأ يتلون باللون الأصفر الفاتح وسرعان ما يتتحول إلى الأزرق ورافق ذلك انطلاق غاز كلوريد الهيدروجين وتشكل لدينا إيتوكسيد كلوريد التنجستين وفق المعادلة:



يترك المحلول الناتج لمدة في وسط معزول وبعيد عن الرطوبة بشكل تام فنلاحظ أن لونه الأزرق يأخذ تدريجياً بالزوال حتى يصبح المحلول شفافاً بشكل تام ويفسر ذلك بأنه تم تحول إيتوكسيد كلوريد التتغستين إلى إيتوكسيد التتغستين النقى بشكل كامل وذلك وفق المعادلة:

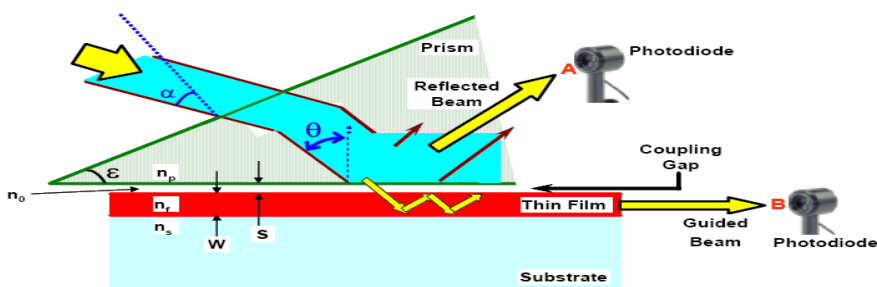


وبذلك تكون قد حصلنا على إيتوكسيد التتغستين وهو المحلول الذي نقوم بتغطية الشرائح الزجاجية فيه، ومن ثم توضع هذه الشرائح الزجاجية في فرن عند درجة حرارة: (500°C) لمدة ساعتين ومن ثم نخرج الشرائح من الفرن وتنتقل إلى مجف درجة حرارته بحدود (150°C) وبعد ذلك تجري عليها الدراسات المطلوبة.

2-3 دراسة السماكة للأفلام المحضرة:

Technology Pairing (تقالة الاقتران الموشوري) **Prismatic Ellipsometer** (جهاز إيلبسومتر)

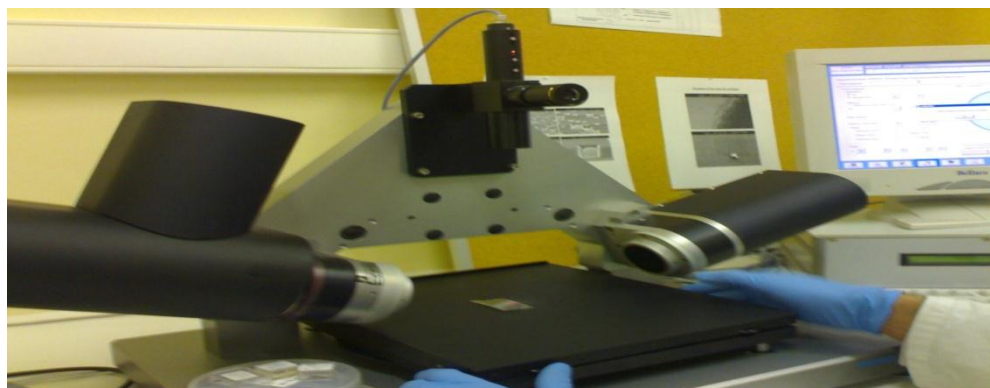
تستخدم تقانة ضوئية فعالة لقياس سماكة الأفلام الضوئية باستخدام الليزر حيث يقوم القارن المنشوري بقياس دقيق لزاوية الاقتران المنشوري التي يحصل عندها حقن للضوء الليزري في فلم رقيق متوضع على ركيزة ذات معامل انكسار صغير، وتسجيل التغير في شدة الضوء المنعكس عن قاعدة المنشور بدلاله تغير زاوية ورود الضوء إلى المنظومة ولا يمكن تحقيق ذلك إلا باستخدام منشور له معامل انكسار عالي يتوضع فوق الفلم الرقيق وفق توجه هندسي محسوب، وقد أظهرت هذه الطريقة نجاحاً ودقة مميزة في تحقيق الاقتران المنشوري بدقة من رتبة **0.01** درجة كما في الشكل (3):



الشكل (3) قياس السماكة بـتقانة الاقتران المنشوري

2-1-2-3 : استخدام جهاز من نوع Ellipsometer PZ

حيث يستخدم هذا الجهاز لقياس سماكة الفلم الرقيق المحضر ومعامل انكساره وذلك باستخدام ليزر طول موجته $\lambda=632.8 \text{ nm}$ الشكل (4)



الشكل(4) جهاز الـ Ellipsometer المستخدم لقياس سماكة الأفلام الرقيقة المحضرة

ونبين بالجدول (1) التالي قيم السماكة وفق كل طريقة بعد تكرار القياسات لتحديد القيمة الأكثر دقة وفق كل طريقة وحسب كل جهاز:

السماكة الوسطية بين الطريقتين	السماكة الوسطية بطريقة الأيلبسومتر	السماكة الوسطية بطريقة الاقتران المنشوري	سماكة لطبقة واحدة
150.5 nm	143 nm	158 nm	أكسيد التنغستين
101 nm	99 nm	103 nm	أكسيد اليريديوم
843 nm	832 nm	854 nm	أكسيد الزنك

(1)

-3-3 قياس السماكة بطريقه رياضيه:

تعتمد هذه الطريقة على تحديد كتلة الفلم وحجمه:

$$M = m_1 - m_2 \quad (18)$$

$$V = m / \rho \quad (19)$$

$$h = V / l \times w \quad (20)$$

m_1 : كتلة الشريحة والفلم بعد ترسيب الفلم عليها

m_2 : كتلة الشريحة فارغه

M : كتلة الفلم (مادة الفلم)

ρ : الكثله الحجمية لمادة الفلم

(V): حجم الفلم والذي له نفس أبعاد الشريحة من حيث الطول (l) والعرض (w) وبالتالي يبقى لدينا ارتفاع الفلم (h) والذي يمثل السماكة المطلوب قياسها.

وبإجراء الحسابات من أجل ثلث عينات لكل نوع من الافلام المحضره وأخذ القيمه الوسطيه تحصلنا على النتائج المبينة في الجدول (2) :

السماكه الوسطيه	السماكه للعينه الثالثه	السماكه للعينه الثانية	السماكه للعينه الأولى	السماكه
154 nm	156 nm	151 nm	155 nm	أكسيد التنغستين
104.3 nm	105 nm	102 nm	106 nm	أكسيد اليريديوم

860.6 nm	852 nm	868 nm	862 nm	أكسيد الزنك
----------	--------	--------	--------	-------------

الجدول (2)

المناقشة -

بمقارنة القيم الوسطية للنتائج التجريبية المحددة بواسطة أجهزة القياس المستعملة في بحثنا والقيم الوسطية المحسوبة رياضياً وجدنا أن الفروق بسيطة جداً والنتائج متقاربة مما يؤكّد صحة الطريقة الرياضية المتبعة وبالتالي يمكن أن نعتبر أي من القيم الناتجة صحيحة ويمكن استخدامها لحساب ثوابت أخرى تتعلق بالعلم الرقيق المدرس ونلخص مجمل النتائج بالطرق التجريبية والرياضية والقيمة الوسطية بينهما لكل من الأفلام المدرّسة في الجدول (3) والذي يبيّن القيم الوسطية للسماكة تجرّبياً ورياضياً.

السماكه الوسطيه تجريبيا ورياضيا $\frac{h_1+h_2}{2}$	السماكه الوسطية رياضيا (h ₂)	السماكه الوسطية تجريبيا (h ₁)	السماكه
152.25 nm	154 nm	150.5 nm	أكسيد التنغستين
102.65 nm	104.3 nm	101 nm	أكسيد الايريديوم
851.8 nm	860.6 nm	843 nm	أكسيد الزنك

الجدول (3)



ISSN : 2312 – 4962

جامعة بنغازى
مجلة العلوم والدراسات الإنسانية - المرج
مجلة علمية الكترونية مكملة
رقم الإيداع بدار الكتب الوطنية 284 / 2014

Reference

- [1] M.H.ASGHAR, M.B.KHAN, S.NASEEM, Z. A.KHAN,.2005-**Design And Preparation Of Antireflection Films On Glass Substrate.***Turk J Phys* 29(2005),43 -53.
- [2] JAMES D. RANCOURT, 1995-**Optical Thin Films User Handbook.**SPIE Bellingham,1st ed ,USA,290 pages.
- [3] EUGENE HECHT,.1997- **OPTICS.**ADDISON-WESLEY,2^{ed} ed ,USA,676 pages.
- [4] SH.A.FURMAN,A. V. TIKHONRAVOV,.1992- **Basic Of Optics Of Multilayer Systems.** Gif-Sur-Yvette, Chapter1, frontieres ed ,USA,100 pages
- [5] -Lisha Zhang, Zhigang Chen, Yiwen Tang, Zhijie Jia “ **Low temperature cathodic electrodeposition of nanocrystalline zinc oxide thin films**” *Thin Solid Films* 491 (2005) 323 – 327, 5 July 2005, China
- [6] - M. Bertolotti a, S. Mura a, E. Pennella a, F. Senesi a, C. Sibilia a, A. Montenero b, G. Gnappi b, S. Pignoni ..1995-**Optical properties of sol-gel derived ferroelectric films.** *Journal of Non-Crystalline Solids* 187 (1995) 453 456
- [7] -Braue G. Stuttgart1981, **Hand Book of inorganic industries "Fehlhammer, and al.Dritte,umgearbeite**
- [8] -MANIFACIER J C., GASIOT J., FILLARD J P, 1976-**A simple method for the determination of the optical constants n , h and the thickness of a weakly absorbing thin film.** *Journal of Physics E, Scientific Instruments Volume 9*
- [9] -M.ohring,**The Materials of Thin films** ,2nd ed .Academic press,2001